

---

МЕТОДИКА ФИЗИЧЕСКОГО ЭКСПЕРИМЕНТА

---

## МОДЕЛИРОВАНИЕ ФОТОЯДЕРНОГО МЕТОДА ДЕТЕКТИРОВАНИЯ СКРЫТЫХ ВЗРЫВЧАТЫХ ВЕЩЕСТВ

Ю. Н. Покотиловский<sup>1</sup>

Объединенный институт ядерных исследований, Дубна

Работа посвящена методу детектирования скрытых взрывчатых материалов и содержит описание расчетной модели детектирования  $\beta$ -активности  $^{12}\text{B}$ , генерируемого в углеродной мишени, скрытой в багаже, в реакции  $^{13}\text{C}(\gamma, p)^{12}\text{B}$  пучком электронов с энергией 50 МэВ. Особое внимание уделено детальным расчетам ложных эффектов и фона, возникающего за счет генерации фотонейтронов. Также рассмотрено детектирование азота по реакциям  $^{14}\text{N}(\gamma, 2n)^{12}\text{N}$  и  $^{14}\text{N}(\gamma, 2p)^{12}\text{B}$ .

This work is devoted to the method of externally controlling objects to detect hidden explosives. A model description of the activation detection of carbon with the use of registering  $^{12}\text{B}$ -activity ( $\beta^-$  decay produced in a carbon target hidden in a luggage by a beam of electrons with an energy of 50 MeV due to the photonuclear reaction  $^{13}\text{C}(\gamma, p)^{12}\text{B}$ ) is presented. The simulation is carried out with consideration for the influence of the main background processes related to the generation of photoneutrons. The detection of nitrogen due to reactions  $^{14}\text{N}(\gamma, 2n)^{12}\text{N}$  and  $^{14}\text{N}(\gamma, 2p)^{12}\text{B}$  is considered.

PACS: 24.30.Cz; 25.20.-x

### 1. ВВЕДЕНИЕ. ЯДЕРНЫЕ МЕТОДЫ ДЕТЕКТИРОВАНИЯ СКРЫТЫХ ВЗРЫВЧАТЫХ МАТЕРИАЛОВ

Неразрушающие методы контроля объектов разных размеров, от авиа- и железнодорожного багажа до судовых и железнодорожных контейнеров, от почтовых посылок до автомобилей, являются важной компонентой обеспечения безопасности в аэропортах, морских портах и на железнодорожных станциях.

Технологии обнаружения скрытых взрывчатых материалов, основанные на ядерных методах, сейчас разрабатываются в ряде лабораторий. Табл. 1 представляет разнообразие таких методов.

Ни один из указанных методов не является универсальным и не используется в реальных условиях.

---

<sup>1</sup>E-mail: pokot@nf.jinr.ru

**Таблица 1. Возможные ядерные методы детектирования скрытых взрывчатых материалов**

Первичные частицы	Источник излучения	Детектируемые частицы
Нейтроны тепловые, быстрые, быстрые меченные	Изотопные источники $^{252}\text{Cf}$ , $\text{Pu}-\text{Be}$ , $\text{Am}-\text{Be}$ , ускорители ионов $\text{D} - \text{D}$ , $\text{D} - \text{T}$ , $^7\text{Li}(p, n)$ , электронные ускорители	Нейтроны тепловые, быстрые, $\gamma$ -кванты
$\gamma$ -кванты	Ускорители ионов $^{13}\text{C}(p, \gamma)$ , $^{11}\text{B}(d, n, \gamma)^{12}\text{C}$ , электронные ускорители	Фотонейтроны, $\beta$ -частицы $e^+, e^-$ , тормозное излучение

## 2. ФОТОЯДЕРНЫЙ МЕТОД ДЕТЕКТИРОВАНИЯ СКРЫТЫХ ВЗРЫВЧАТЫХ МАТЕРИАЛОВ

В этой работе рассматривается фотоядерный метод, основанный на использовании реакций

$$^{13}\text{C}(\gamma, p)^{12}\text{B}, \quad E_{\gamma, \text{th}} = 17,5 \text{ МэВ}, \quad E_{\beta, \text{max}} = 13,368 \text{ МэВ}, \\ \sigma_{\text{max}} \approx 8 \text{ мб}, \quad T_{1/2} = 20,2 \text{ мс}, \quad (1)$$

$$^{14}\text{N}(\gamma, 2n)^{12}\text{N}, \quad E_{\gamma, \text{th}} = 30,6 \text{ МэВ}, \quad E_{\beta^+, \text{max}} = 16,316 \text{ МэВ}, \\ \sigma_{\text{max}} \approx 3 \text{ мкб}, \quad T_{1/2} = 11 \text{ мс}, \quad (2)$$

$$^{14}\text{N}(\gamma, 2p)^{12}\text{B}, \quad E_{\gamma, \text{th}} = 25,1 \text{ МэВ}, \quad E_{\beta, \text{max}} = 13,368 \text{ МэВ}, \\ \sigma_{\text{max}} \approx 1,5 \text{ мкб}, \quad T_{1/2} = 20,2 \text{ мс}. \quad (3)$$

В первом предложенном варианте [1] предлагалось регистрировать на совпадения два  $\gamma$ -кванта аннигиляции позитронов из реакции (2). В дальнейших предложениях [2–8] рассматривались все три реакции, при этом основным сигналом наличия взрывчатого вещества предлагалось считать соотношение вкладов активности в измеряемой временной кривой распада, характерных для  $^{12}\text{B}$  с  $T_{1/2} = 20,2$  мс, и, соответственно, позитронной компоненты с  $T_{1/2} = 11$  мс для  $^{12}\text{N}$ . Это должно дать информацию о специфическом соотношении углерода и азота, получаемом из отношения в измеряемой временной кривой спада активности констант распада  $^{12}\text{B}$  и  $^{12}\text{N}$ . Таким образом, при практической реализации метод заключается в последовательном сканировании исследуемого объекта импульсным пучком тормозных  $\gamma$ -квантов и экспресс-анализе временного спектра после каждого импульса.

В упомянутых работах отмечалось, что изотопы  $^{12}\text{N}$  и  $^{12}\text{B}$  являются уникальными в том отношении, что для времен распада в интервале 3–80 мс практически нет других изотопов, которые могут быть получены в этой области в фотоядерных реакциях с пороговой энергией  $\gamma$ -квантов ниже 50 МэВ. Единственное исключение — изотоп  $^{13}\text{B}$  ( $\beta$ -распад,  $T_{1/2} = 17,36$  мс,  $E_{\beta, \text{max}} = 13,4$  МэВ) из реакции  $^{16}\text{O}(\gamma, 3p)^{13}\text{B}$  ( $E_{\text{th}} = 43,2$  МэВ). Сечение этой реакции неизвестно, но можно ожидать, что оно мало, что типично для фотоядерных реакций с вылетом трех нуклонов. Малое время распада  $^{12}\text{N}$  и  $^{12}\text{B}$  и большая энергия  $\beta$ -распада могут, в принципе, обеспечить высокое быстродействие фотоядерного метода.

В табл. 2 (в большей части заимствованной из [7]) приведены химические формулы основных взрывчатых веществ и материалов, составляющих возможный фон, а также соотношение концентраций азота и углерода, которое может служить признаком наличия опасных материалов.

Таблица 2. Химические формулы и отношения N/C для разных веществ

Вещество	N/C	Вещество	N/C
ТНТ $C_7N_3O_6H_5$	3/7	Нитрон $(C_3NH_3)_n$	1/3
Пентрит $C_5N_4O_{12}H_8$	4/5	Нейлон $(C_{12}N_2O_2H_{22})_n$	1/6
Тетрил $C_7N_5O_8H_5$	5/7	Капрон $(C_6NOH_{11})_n$	1/6
Гексоген $C_3N_6O_6H_6$	2/1	Натриевое мыло $(C_{18}O_2NaH_{35})$	0
Октоцен $C_4N_8O_8H_8$	2/1	Шампунь-К $(C_{16}O_2KH_3)$	0
		Целлюлоза $(C_6H_{10}O_5)_n$	0

Поскольку в реакции (3) генерируется  $^{12}B$ , неотличимый от получаемого из реакции (1), то о наличии азота можно судить только по позитронной активности из реакции (2).

Энергетическая зависимость сечения реакции (1), измеренная в работах [9–11], показана на рис. 1. В дальнейших расчетах генерации  $^{12}B$  использовалось сечение, усредненное по работам [10, 11]. Компиляция имеющихся экспериментальных и модельно-расчетных данных о сечениях реакций (1)–(3), а также самостоятельные модельные расчеты этих сечений вместе с сопоставлением и анализом сведений об этих сечениях приведены в [12]. Как следует из этого анализа, экспериментальных данных об энергетической зависимости сечений реакций (2) и (3) нет, расчеты [4, 12–14] дают резко расходящиеся предсказания (рис. 2 и 3). Значения величин  $\sigma_{\max}$ , приведенные для реакций (2) и (3), взяты из последних расчетов [12].

В работах [3, 4] приведены весьма неполные данные о тестовых экспериментах по детектированию углерода, меламина ( $C_3N_6H_3$ ) и некоторых взрывчатых соединений. Компьютерное моделирование эксперимента с углеродной мишенью содержится в работе [15].

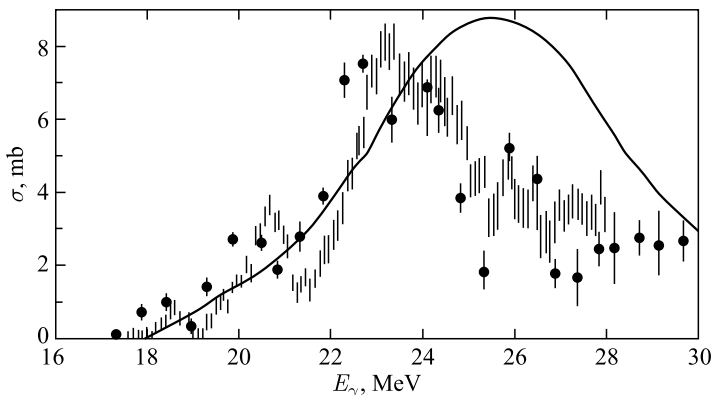


Рис. 1. Результаты измерений сечения реакции  $^{13}C(\gamma, p)^{12}B$  в зависимости от энергии фотонов  $E_\gamma$ . Сплошная линия — [9]; кружки с «усами» — [10]; вертикальные штрихи — [11]

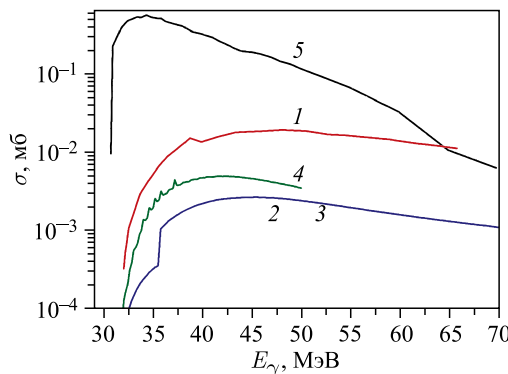


Рис. 2. Расчетные сечения реакции  $^{14}\text{N}(\gamma, 2n)^{12}\text{N}$  в зависимости от энергии фотонов: 1 — из работы [13]; 2 — из работы [14]; 3 — из работы [12] по программе [16]; 4 — из работы [12] по программе [17]; 5 — из работы [4]

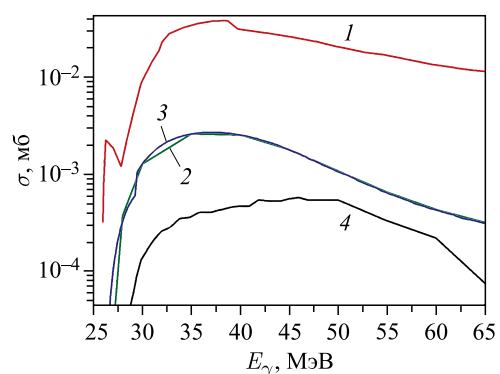


Рис. 3. Расчетные сечения реакции  $^{14}\text{N}(\gamma, 2p)^{12}\text{B}$  в зависимости от энергии фотонов: 1 — из работы [13]; 2 — из работы [14]; 3 — из работы [12] по программе [16]; 4 — из работы [4]

### 3. ГЕОМЕТРИЯ РАСЧЕТОВ

Центральная часть MCNP-геометрии, используемой в расчетах, показана на рис. 4 (вертикальное сечение). В расчетной модели зал имеет размеры  $6 \times 6 \times 4,4$  м, стены, пол и потолок зала имеют одинаковую толщину 1 м и выполнены из бетона с плотностью  $6,5 \text{ г} \cdot \text{см}^{-3}$ , состав которого в процентах по числу атомов указан в табл. 3.

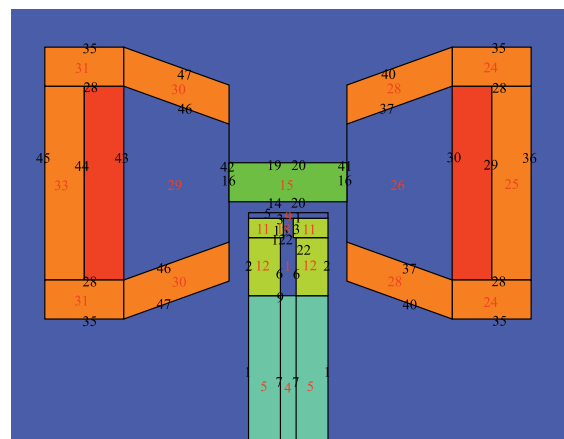


Рис. 4. Центральная часть MCNP-геометрии вычислений. В центре — мишень (ячейка 15), ниже — имитатор ускорителя электронов с проводом пучка, по бокам от мишени — сцинтиляционные детекторы, окруженные свинцовой защитой

Таблица 3. Элементный состав бетона стен зала облучений

Параметр	Компонент									
	H	O	Na	C	Al	Si	K	Ca	Fe	
Атомная концентрация, %	8,45	60,4	0,95	0,3	2,5	24,2	0,69	2,05	0,46	

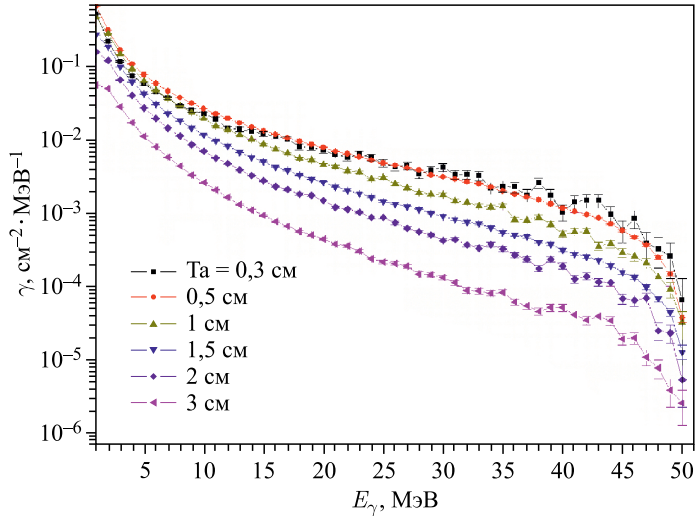


Рис. 5. Гамма-спектры, эмитируемые с поверхности диаметром 2 см Та-радиатора разной толщины в расчете на 1 электрон с энергией 50 МэВ

Пучок электронов с энергией 50 МэВ, диаметром 2 см облучает Та-радиатор толщиной 0,35 см. Рис. 5 показывает результаты оптимизационных расчетов по выбору толщины Та-мишени. Поток тормозных  $\gamma$ -квантов из радиатора на мишень падает вертикально, расстояние от радиатора до поверхности мишени — 18 см, расстояние от мишени до пола — 1 м. Мишень представляет собой параллелепипед размерами  $90 \times 60 \times 20$  см (авиабагаж средних размеров), заполненный материалом химического состава HCNO плотностью  $0,35 \text{ г} \cdot \text{см}^{-3}$ . Такой состав был выбран из тех соображений, что типичный багаж содержит в основном одежду, изготовленную из хлопка, шерсти или синтетических тканей. Пучок электронов направлен нормально по отношению к большой грани мишени размером  $60 \times 90$  см и может сканировать ее площадь. Для регистрации распадов  $^{12}\text{B}$  (электронов и тормозных  $\gamma$ -квантов) предназначены два детектора с пластическим сцинтилятором толщиной 20 см и диаметром 1 м, входная поверхность которых расположена на расстоянии 85 см от центра мишени. Сцинтиляторы окружены свинцовой защитой с толщинами стенок и дна 20 см и дополнительным свинцовым коническим коллиматором в направлении к мишени для лучшей защиты от внешнего излучения.

#### 4. РАСЧЕТ ГЕНЕРАЦИИ $^{12}\text{B}$

Последовательность расчета генерации  $^{12}\text{B}$  следующая. Сначала рассчитывается распределение плотности потока тормозных  $\gamma$ -квантов по толщине мишени. Рис. 6 показывает спектры плотности потока  $\gamma$ -квантов на входе и выходе из мишени толщиной 20 см, усредненные по пятну диаметром 6 см. Затем на основе полученных потоков  $\gamma$ -квантов и сечения реакции (1) (см. рис. 1) рассчитывается генерация  $^{12}\text{B}$ :

$$N_{^{12}\text{B}} = c(^{13}\text{C}) \frac{N_A}{A} \int \phi(E_\gamma) \sigma(E_\gamma) dE_\gamma, \quad (4)$$

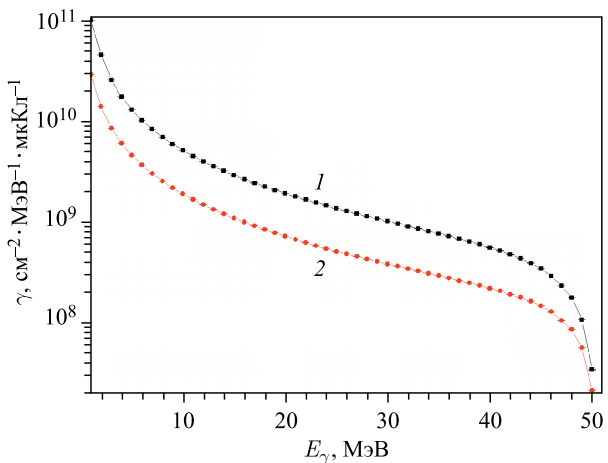


Рис. 6. Гамма-спектры на входе (1) и выходе (2) из мишени в облучаемом пятне радиусом 3 см в расчете на 1 мкКл электронов с энергией 50 МэВ

где  $N_{12\text{B}}$  — число атомов  $^{12}\text{B}$ , образованных внутри мишени в 1 г углерода естественного состава;  $c(^{13}\text{C}) = 0,0107$  — концентрация  $^{13}\text{C}$  в естественном углероде;  $N_A$  — число Авогадро;  $A = 12$  — атомный вес углерода;  $\phi(E_\gamma)$  — спектр плотности потока  $\gamma$ -квантов в мишени (среднее распределение по двум кривым рис. 6);  $\sigma(E_\gamma)$  — сечение реакции (1) (см. рис. 1).

Результат расчета по уравнению (4): число ядер  $^{12}\text{B}$ , образовавшихся в 1 г углерода естественного состава в центре багажа при импульсе электронов зарядом 1 мкКл в описанных условиях облучения, равно  $2,3 \cdot 10^4$ .

## 5. РАСЧЕТ ЭФФЕКТИВНОСТИ РЕГИСТРАЦИИ РАСПАДОВ $^{12}\text{B}$

Очевидно, что эффективность регистрации электронов распада  $^{12}\text{B}$  и тормозных  $\gamma$ -квантов, возникающих в мишени и в детекторе, зависит от положения источника в мишени по отношению к детектору. Для моделирования эффективности точечный

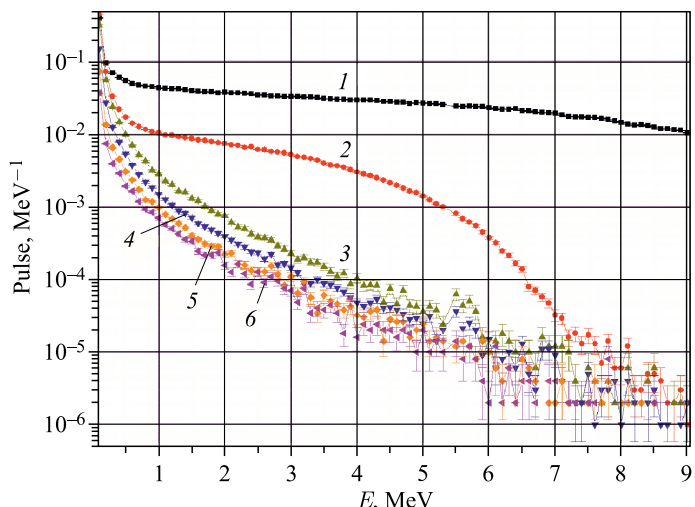
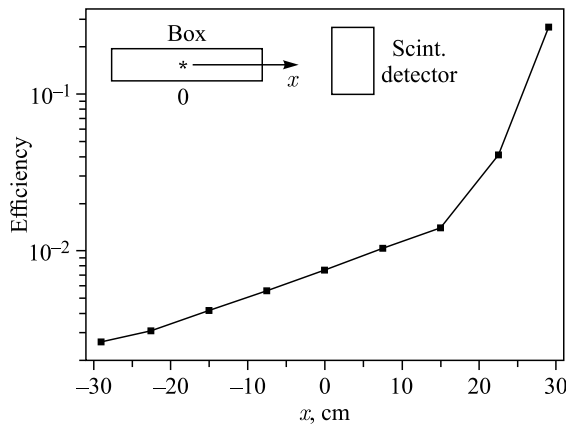


Рис. 7. Спектры импульсов сцинтиляционного детектора при разных положениях источника  $^{12}\text{B}$  внутри мишени в расчете на один распад  $^{12}\text{B}$ . Расстояние от центра мишени вдоль оси по направлению к детектору: 1 — 29 см; 2 — 22,5 см; 3 — 15 см; 4 — 0 см; 5 — -15 см; 6 — -29,5 см

Рис. 8. Эффективность регистрации распадов  $^{12}\text{B}$  в зависимости от положения источника

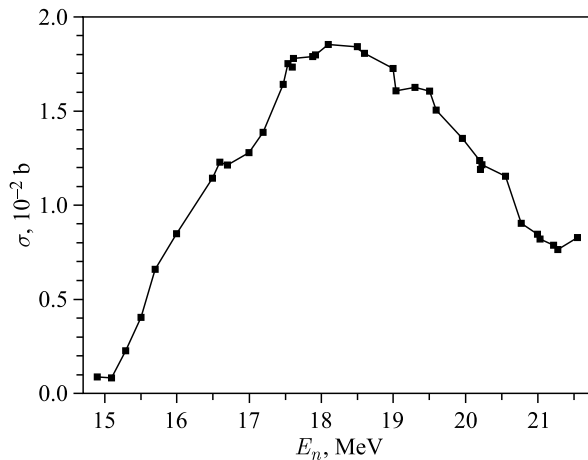
источник со спектром электронов  $\beta$ -распада  $^{12}\text{B}$  располагался в разных положениях в мишени (ячейка 15 на рис. 4) на оси сцинтилляторов, и рассчитывался амплитудный спектр импульсов детектора (рис. 7). Далее при выбранном пороге регистрации импульсов детектора (50 кэВ) определялась эффективность регистрации распада  $^{12}\text{B}$  в функции положения источника (рис. 8). Например, при положении источника  $^{12}\text{B}$  в центре мишени эффективность регистрации распада детектором равна  $7,5 \cdot 10^{-3}$ , и при числе распадов в мишени  $2,3 \cdot 10^4$  мкКл $^{-1}$  полное число импульсов детектора за время распада  $^{12}\text{B}$  равно 172 в расчете на 1 г углерода и 1 мкКл электронов в импульсе.

## 6. ВЫЧИСЛЕНИЕ ЛОЖНОГО ЭФФЕКТА ЗА СЧЕТ РЕАКЦИИ $^{12}\text{C}(n, p)^{12}\text{B}$ В СЦИНТИЛЛЯЦИОННОМ ДЕТЕКТОРЕ

Помимо естественного фона помещения и фона космических мюонов, значительного при большом объеме детектора, наиболее опасный источник фона образуется фотонейtronами, генерируемыми за время импульса ускорителя. В этом разделе рассмотрим фоновый эффект генерации  $^{12}\text{B}$  фотонейtronами в сцинтилляционном детекторе в реакции  $^{12}\text{C}(n, p)^{12}\text{B}$  (пороговая энергия реакции  $E_{\text{th}} = 12,6$  МэВ). Энергетический ход сечения этой реакции измерялся в нескольких работах [18–20]. Результаты этих работ заметно расходятся. Интегральное сечение при большой энергии измерено в серии работ [21]. Эти работы содержат также компиляцию всех экспериментальных и расчетных результатов. Сечение этой реакции, измеренное в работе [19] до энергии  $E_n = 22$  МэВ и минимальное из всех известных, показано на рис. 9. Ход реакции при больших энергиях является дискуссионным [21], однако поскольку спектр фотонейtronов резко падает с увеличением энергии, можно ожидать, что вклад в эффект от больших энергий нейтронов невелик.

Рис. 10 показывает рассчитанный спектр быстрых нейтронов в детекторе, на основе которого с использованием уравнения

$$N_{^{12}\text{B}} = c(^{12}\text{C}) \frac{N_A \rho V}{A} \int \phi(E_n) \sigma(E_n) dE_n, \quad (5)$$

Рис. 9. Сечение реакции  $^{12}\text{C}(n, p)^{12}\text{B}$  в зависимости от энергии нейтронов [19]

где  $N_{^{12}\text{B}}$  — число атомов  $^{12}\text{B}$ , образованных в объеме детектора;  $c(^{12}\text{C})$  — доля ядер  $^{12}\text{C}$  в сцинтилляторе;  $N_A$  — число Авогадро;  $\rho$  — плотность сцинтиллятора;  $A = 13$  — молекулярный вес сцинтиллятора;  $\phi(E_n)$  — спектр плотности потока нейтронов в сцинтилляторе (см. рис. 10);  $\sigma(E_n)$  — сечение реакции  $^{12}\text{C}(n, p)^{12}\text{B}$  (см. рис. 9), можно рассчитать число ядер  $^{12}\text{B}$ , образованных в сцинтилляторе за счет реакции  $^{12}\text{C}(n, p)^{12}\text{B}$ . Оно равно  $1,75 \cdot 10^4$  в расчете на 1 мКл электронов в импульсе. Существенно, что в отличие от  $^{12}\text{B}$ , образованного в мишени, эффективность регистрации распадов  $^{12}\text{B}$ , находящегося в мишени, близка к 100 %. Отсюда следует, что фоновый эффект генерации  $^{12}\text{B}$  в реакции  $^{12}\text{C}(n, p)^{12}\text{B}$  фотонейtronами в пластиковом сцинтилляционном детекторе примерно равен эффекту из реакции (1) в 100 г углерода в мишени. Таким образом, расчет подтверждает вывод, в частности, в [6], что органический сцинтиллятор,

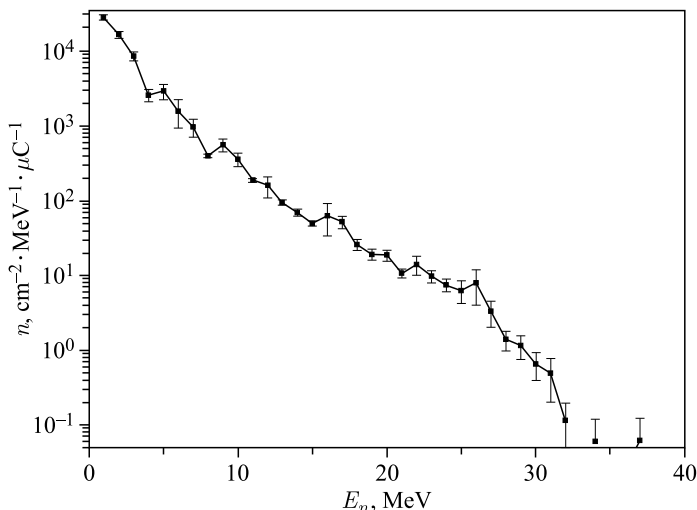


Рис. 10. Плотность потока быстрых нейтронов в сцинтилляционном детекторе в расчете на 1 мКл электронного импульса

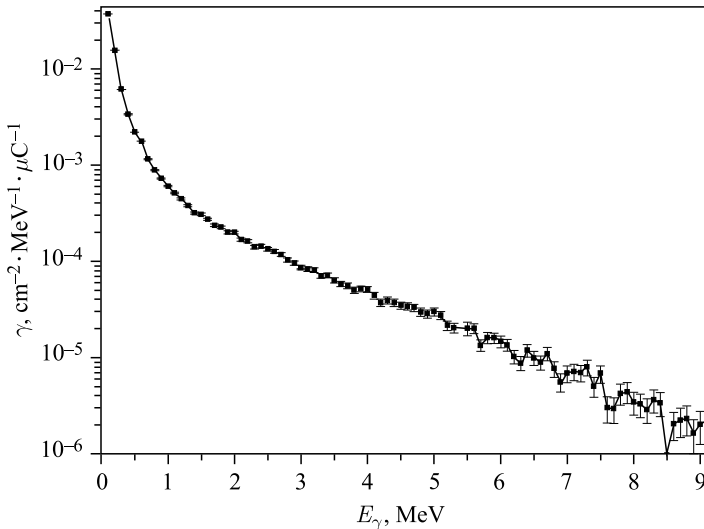


Рис. 11. Спектр  $\gamma$ -квантов в детекторе от распада  $^{12}\text{B}$ , образованного в центре мишени в 1 г углерода от электронного импульса 1 мкКл

скорее всего, может оказаться непригодным для фотоядерного детектирования углерода. Неорганические сцинтилляторы большой площади весьма дороги и, как показывает опыт, активируются в процессе работы.

Рис. 11 показывает  $\gamma$ -спектр в сцинтилляционном детекторе от распада  $^{12}\text{B}$ , образованного в центре мишени, в 1 г углерода от электронного импульса с зарядом 1 мкКл. Предлагаемый в ряде работ водяной черенковский детектор для типичных, резко падающих с энергией, спектров  $\gamma$ -квантов из мишени от распада  $^{12}\text{B}$  (см. рис. 11), имеет во много раз, если не на порядки, меньшую эффективность регистрации  $\gamma$ -квантов (пороговая энергия электронов, генерирующих черенковское излучение в воде, равна 0,26 МэВ).

## 7. ВЫЧИСЛЕНИЕ ФОНА ДЕТЕКТОРА ЗА СЧЕТ НЕЙТРОНОВ В ЗАЛЕ ОБЛУЧЕНИЯ

Значительно более опасен растянутый во времени после импульса фон  $\gamma$ -квантов от реакций радиационного захвата нейтронов, замедляющихся и «гуляющих» по залу облучения проверяемых объектов. Рис. 12 показывает временную зависимость плотностей  $\gamma$ - и нейтронного потоков в помещении облучения и в сцинтилляционном детекторе в расчете на 1 мкКл электронного импульса. Рассчитанный временной спад потоков определяется, как видно из графиков, плотностью нейтронного потока в помещении. Сравним интегральные по спектру потоки  $\gamma$ -квантов в детекторе от распада  $^{12}\text{B}$  и от фона. Суммирование  $\gamma$ -спектра от распада  $^{12}\text{B}$  (см. рис. 11) дает полный поток  $\gamma$ -квантов ( $E_{\text{th}} = 50$  кэВ), равный  $0,075 \text{ см}^{-2}$  в расчете на 1 г углерода в центре мишени и на 1 мкКл импульса электронов. Это дает распадный временной спектр  $\gamma$ -потока в детекторе:  $n(t) = 2,6 \cdot 10^{-3} \exp(-t/29) \text{ см}^{-2} \cdot \text{мс}^{-1}$ . Эту величину следует сравнить с нижней кривой рис. 12, показывающей временной ход  $\gamma$ -потоков в детекторе от фона в зале облучения. В момент 10 мс после импульса отношение эффекта к фону равно  $5 \cdot 10^{-5}$ .

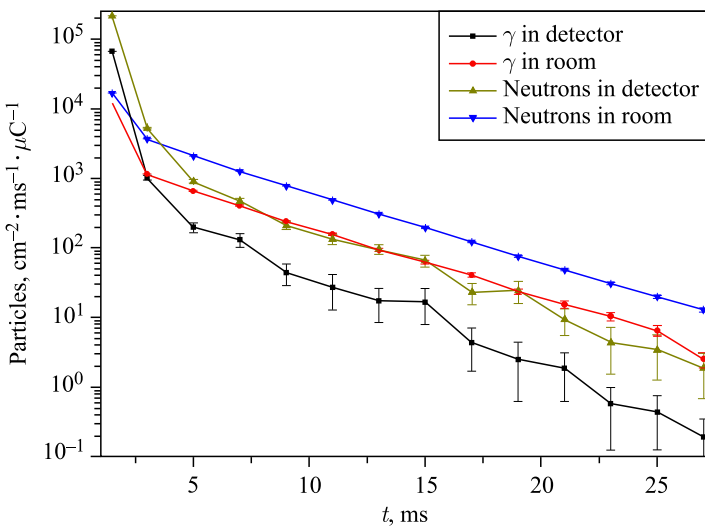


Рис. 12. Временная зависимость потоков нейтронов и  $\gamma$ -квантов в детекторе и помещении в расчете на 1 мКл электронного импульса

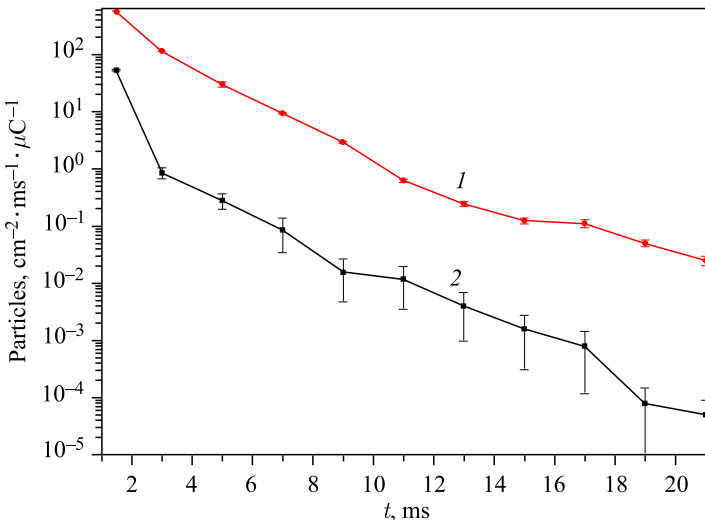


Рис. 13. Временная зависимость потоков нейтронов и  $\gamma$ -квантов в помещении в расчете на 1 мКл электронного импульса при введении дополнительной защиты детектора (в свинцовую защиту детектора введено 10 % естественного лития) и поглощающих нейтроны стены зала облучения (стены зала покрыты 20-см слоем полиэтилена с 25 % естественного лития): 1 — нейтроны; 2 —  $\gamma$ -кванты

Ситуация может быть как-то улучшена введением защиты детектора от нейтронов зала облучения и покрытием стен зала материалом, поглощающим нейтроны. Рис. 13 иллюстрирует эффект таких улучшений защиты: в свинцовую защиту детектора введено 10 % естественного лития, а стены зала покрыты 20-см слоем полиэтилена с 25 % есте-

ственного лития. Например, в момент 10 мс после электронного импульса плотность потоков нейтронов в помещении уменьшилась в 500 раз, а  $\gamma$ -квантов на четыре порядка по сравнению с тем же моментом для случая без введения защиты, временная постоянная спада интенсивности потоков при этом составляет примерно 5 мс, однако по-прежнему фон значительно превышает эффект.

Еще более радикальное подавление фона детектора достигается введением нейтронной защиты перед передней стенкой детектора (5 мм  $^6\text{LiF}$ ) и добавлением  $^6\text{Li}$  в боковых и задней стенках защиты детектора. Рис. 14 показывает спектры нейтронов в детекторе в различные моменты времени после импульса, откуда следует, что практически полная термализация спектра в этом случае происходит уже после 0,15 мс. На рис. 15 показана временная кривая спада полного термализованного нейтронного потока в детекторе:

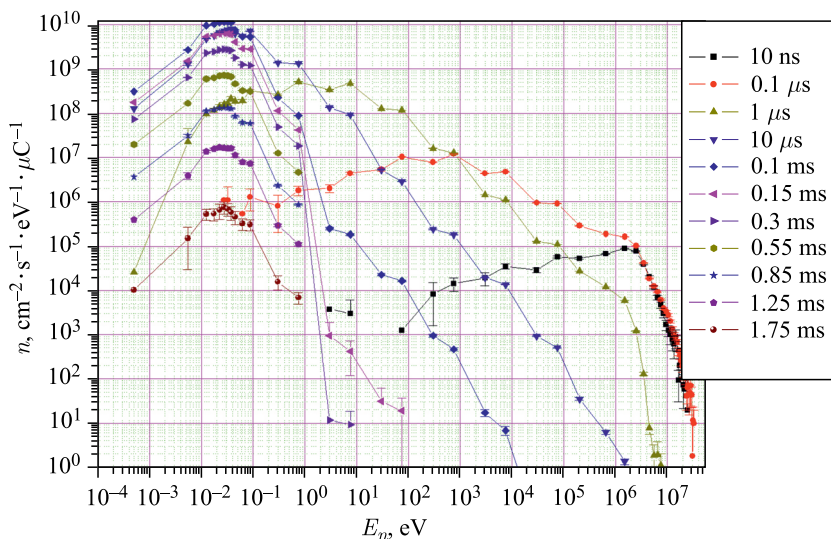


Рис. 14. Временная эволюция спектров нейтронов в детекторе в расчете на 1 мкКл электронного импульса при введении дополнительной защиты детектора — 5 мм  $^6\text{LiF}$  перед передней стенкой детектора — и увеличения защиты из  $^6\text{Li}$  в боковых и задней стенках защиты

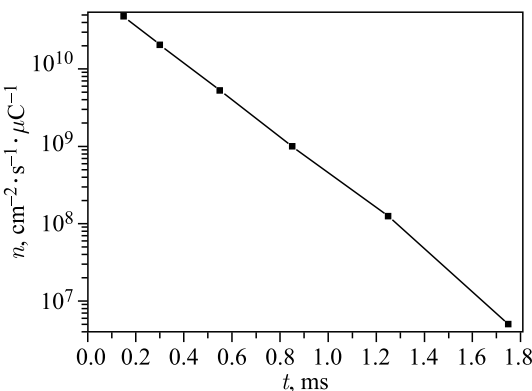


Рис. 15. Временная зависимость потоков нейтронов в детекторе в расчете на 1 мкКл электронного импульса при введении дополнительной нейтронной защиты перед передней стенкой детектора (5 мм  $^6\text{LiF}$ ) и добавлением  $^6\text{Li}$  в боковых и задней стенках защиты детектора

константа спада равна 0,2 мс. Экстраполяция к моменту 3 мс дает уменьшение потока в детекторе на пять порядков по сравнению с незащищенным детектором с дальнейшим сильным ослаблением потоков при больших временах. Таким образом, специальные меры по защите детектора от нейтронов позволяют надеяться на выделение сигнала от углерода.

## 8. ДЕТЕКТИРОВАНИЕ АЗОТА

Как было отмечено, экспериментальные данные по энергетической зависимости сечений реакций (2) и (3) отсутствуют. Для оценки генерации  $^{12}\text{N}$  из реакции (2) использовались усредненные данные сечений из расчетов [12]: кривые 3 и 4 рис. 2. Для расчета генерации  $^{12}\text{B}$  из реакции (3) на азоте использовались результаты [12] и совпадающие с ними результаты [14] — кривые 2 и 3 рис. 3. Рассчитаем генерацию  $^{12}\text{N}$  и  $^{12}\text{B}$  в 1 г ТНТ ( $\text{C}_7\text{N}_3\text{O}_6\text{H}_5$ ) в центре мишени под действием импульса электронов с зарядом 1 мКл. Расчеты, проведенные по уравнению (4), дают следующий результат: число ядер  $^{12}\text{N}$ , образовавшихся при импульсе электронов с зарядом 1 мКл в 1 г ТНТ в описанных условиях облучения, равно 112, а число ядер  $^{12}\text{B}$  — 8520 из реакции (1) и 149 из реакции (3). Таким образом, в общей распадной кривой, содержащей вклады от распада  $^{12}\text{N}$  с периодом полураспада 11 мс и  $^{12}\text{B}$  с периодом полураспада 20,2 мс, вклад первой составляет только 1,42 %. Очевидно, что для надежного выделения распада  $^{12}\text{N}$  на фоне распада  $^{12}\text{B}$  необходима очень большая статистика даже при нулевом фоне.

## ЗАКЛЮЧЕНИЕ

Впервые проведены расчеты эффективности фотоядерного метода детектирования скрытых в багаже взрывчатых материалов, основанного на использовании реакций (1)–(3):

- рассчитана эффективность регистрации углерода для 1 г углерода и 1 мКл заряда электронов с энергией 50 МэВ в импульсе ускорителя;
- рассчитан ложный эффект из-за реакции  $^{12}\text{C}(n, p)^{12}\text{B}$ , вызываемой фотонейtronами в сцинтилляционном пластиковом детекторе, и показано, что пластиковый детектор не может быть использован в этом методе для регистрации распадов  $^{12}\text{B}$  в облучаемой мишени;
- детально рассчитан зависящий от времени фон нейтронов и  $\gamma$ -квантов, возникающий в зале облучения и в детекторе за счет генерации фотонейtronов, и показано, что без специальных мер по подавлению этого фона он превышает на порядки ожидаемый эффект от генерируемого тормозными фотонами  $^{12}\text{B}$ ;
- рассчитаны фоны нейтронов и  $\gamma$ -квантов в детекторе после введения защиты;
- оценена генерация  $^{12}\text{N}$  в ТНТ на основе рассчитанного в работе [12] сечения реакции (2) и показано, что при таком сечении реакции (2) вклад от распада  $^{12}\text{N}$  подавлен вкладом от распада  $^{12}\text{B}$ ;
- на основе проведенного детального моделирования приходится признать, что практическая реализация этого метода маловероятна.

Автор признателен Л. З. Джилавяну, привлекшему внимание автора к этой проблеме.

### СПИСОК ЛИТЕРАТУРЫ

1. Alvarez L. W. Patent US 4756866. July 12, 1988.
2. Rosander S., Trower W. P. // Proc. of the Indo-Soviet Seminar on Microtrons, Indore, India, 1992. ISRN KTH/ALA/PR-92/3-SE. 1992.
3. Trower W. P. // Nucl. Instr. Meth. B. 1993. V. 79. P. 589.
4. Knapp E. A., Moler R. B., Saunders A. W., Trower W. P. // Appl. Rad. Isot. 2000. V. 53. P. 711.
5. Dzhilavyan L. Z., Karev A. I., Laptev V. D., Raevsky V. G. // Proc. of XII Intern. Seminar on Electromagnetic Interactions of Nuclei "EMIN-2009". Inst. for Nucl. Res. of Russ. Acad. of Sciences. M., 2010. P. 75.
6. Джилавян Л. З. // Изв. РАН. Сер. физ. 2009. Т. 73, № 6. С. 846.
7. Джилавян Л. З., Карев А. И., Раевский В. Г. // Изв. РАН. Сер. физ. 2011. Т. 75, № 2. С. 277.
8. Карев А. И., Раевский В. Г., Джилавян Л. З., Бразерс Л. Д., Вилхайд Л. К. Патент RU № 2444003 C1. 27.02.2012. Бюл. № 6;  
Карев А. И., Раевский В. Г., Dzhilavyan L. Z., Brothers L. J., Wilhide L. K. Patent US 8,582,712 B2. Nov. 12, 2013.
9. Cook B. C. // Phys. Rev. 1957. V. 106. P. 300.
10. Денисов Н. П., Куликов А. В., Кульчитский Л. А. // ЖЭТФ. 1964. Т. 46. С. 1488.
11. Zubanov D., Sutton R. A., Thompson M. N., Jury J. W. // Phys. Rev. C. 1983. V. 27. P. 1957.
12. Ачаковский О. И., Бельшев С. С., Джилавян Л. З., Покотиловский Ю. Н. // Изв. АН. Сер. физ. 2016. Т. 80, № 5. С. 633 (Bull. Russ. Acad. Sci. 2016. V. 80, No. 5. P. 572).
13. Hunt A. W., Harmon J. F., Stoner J. // An Analysis of the VFCT Detector System. Idaho Accel. Center. Idaho State Univ. Pocatello, Idaho. P. 1–35.
14. Koning A. J. et al. TENDL-2013 Nuclear Data Library. Gamma Sub-Library.  
<ftp://ftp.nrg.eu/pub/www/talys/tendl2013/gamma.html/gamma.html>. 2013.
15. Джилавян Л. З., Покотиловский Ю. Н. // Письма в ЭЧАЯ. 2017. Т. 14, № 5. С. 506–513.
16. TALYS-1.6. <http://www.talys.eu/>.
17. Herman M. et al. EMPIRE-3.1 Rivoli. User's Manual. Feb. 8, 2012.
18. Kriger W. E., Kern B. D. // Phys. Rev. 1959. V. 113. P. 890.
19. Rimmer E. M., Fisher P. S. // Nucl. Phys. A. 1968. V. 108. P. 567.
20. Бобырь В. В., Применко Г. И., Ревьюк К. К. и др. // Изв. АН. Сер. физ. 1972. Т. 36. С. 2621.
21. Zugec P., Colonna M., Bosnar D. et al. (*n*-TOF Collab.) // Phys. Rev. C. 2014. V. 90. P. 021601;  
Zugec P., Colonna M., Bosnar D. et al. (*n*-TOF Collab.) // Eur. Phys. J. A. 2016. V. 52. P. 101.

Получено 24 июля 2018 г.